

- [8] Wright P.D. // J. Appl. Phys. 1987. V. 61.
N 1. P. 1720-1724.
- [9] Пузин И.Б., Шерварлы Г.К. // Оптоэлектро-
ника и полупроводниковая техника. 1990. № 19.
- [10] Пузин И.Б., Шерварлы Г.К. // ЭТ, серия 11,
Лазерная техника и оптоэлектроника. 1990 (в печати).

Институт полупроводников
АН УССР, Киев

Поступило в Редакцию
10 апреля 1990 г.

Письма в ЖТФ, том 16, вып. 15

12 августа 1990 г.

© 1990

12

ПРИМЕНЕНИЕ КАПИЛЛЯРНО-ПОРИСТЫХ СТРУКТУР
И ПОЛИКРИСТАЛЛИЧЕСКИХ АЛМАЗНЫХ ПЛЕНОК
ПРИ СОЗДАНИИ АНОДА ИСТОЧНИКА МЯГКОГО
РЕНТГЕНОВСКОГО ИЗЛУЧЕНИЯ

А.М. Прохоров, И.Н. Сисакян,
В.Ю. Хомич

Современный уровень микроэлектроники во многом связан с развитием способов субмикронной размерной обработки материалов, один из которых – метод рентгеновской литографии [1, 2].

Разработка и создание высокомощных охлаждаемых анодов, способных длительное время находиться в эксплуатации в условиях интенсивного теплового нагружения, надежных и технологичных в изготовлении, является одной из актуальных проблем рентгенолитографии.

Вопрос тепловой устойчивости анода пытались решить путем создания вращающихся конструкций [1, 3], однако их недостатками являются большие габариты и сложность в изготовлении.

Известны стационарные аноды [4, 5], в которых облучаемая электронным пучком мишень охлаждается проточным теплоносителем, но из-за недостаточно эффективных систем отвода тепла максимально допустимые нагрузки малы и не удовлетворяют современным требованиям.

Помимо системы охлаждения, вторым важным вопросом, стоявшим при создании анода, является выбор материала мишени. В работе [5] было предложено изготавливать мишень из алмаза типа "Па", генерирующего характеристическое излучение на длине волны 44.7 Å (линия K_{α} углерода), к которой высокочувствительны существующие в настоящее время резисты. Однако такие аноды имеют

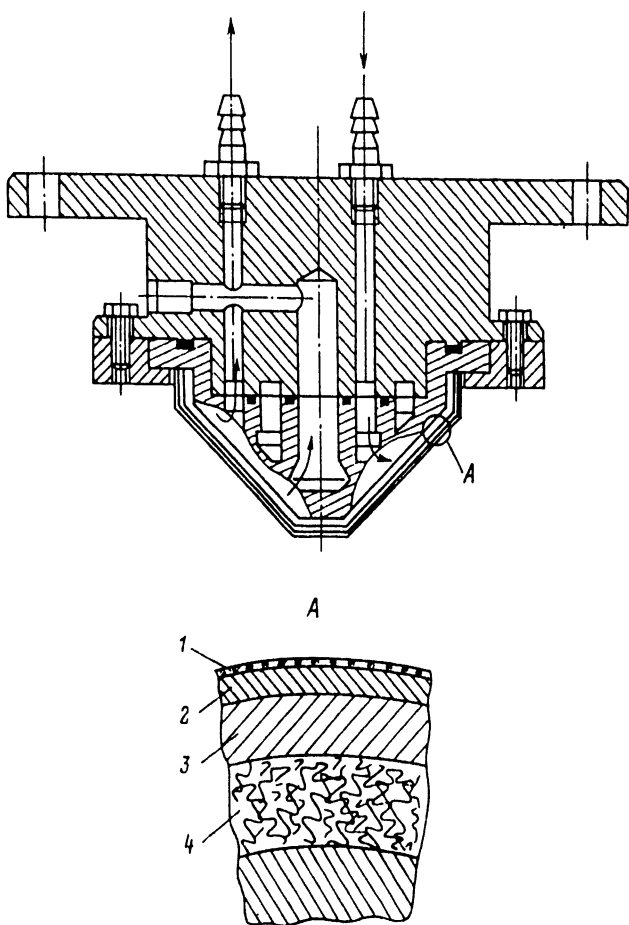


Рис. 1. Конструкция анода источника мягкого рентгеновского излучения: 1 – поликристаллическая алмазная пленка, 2 – карбидообразующий подслой, 3 – герметизирующий слой, 4 – капиллярно-пористый теплообменник.

целый ряд недостатков: алмаз – редкий и дорогостоящий материал, трудно поддающийся механической обработке и прочному, герметичному соединению кристалла по контуру.

В настоящей работе представлена разработка, создание и исследование высокомощного анода источника мягкого рентгеновского

излучения с системой охлаждения, выполненной на основе структур с открытой пористостью, и с мишенью из поликристаллического алмаза.

Предложенная конструкция выполнена в виде металлической усеченноной конусной головки с разветвленной коллекторной сетью для подвода и отвода теплоносителя к капиллярно-пористому слою на боковой поверхности конуса, на которой последовательно нанесены герметизирующий слой и слой для генерации излучения, образованный подслоем из карбидаобразующего материала и поликристаллической полупроводниковой алмазной пленкой [6].

На рис. 1 представлена конструкция анода источника мягкого рентгеновского излучения и показана структура поверхностного слоя в зоне взаимодействия с электронным пучком.

Основа анода с капиллярно-пористым слоем и с коллекторной сетью для подвода и отвода теплоносителя изготавливается из теплопроводного материала. Герметизирующий слой может быть нанесен различными способами, в том числе методом электронно-вакуумного напыления металла. Карбидаобразующий подслой также может наноситься различными методами, можно использовать пиролитическое разложение паров металлоганических соединений.

Эпитаксиальное наращивание полупроводниковой поликристаллической алмазной пленки, легированной бором, осуществлялось осаждением из электрически и термически активированной углеводород-водородной газовой фазы [7].

Анод работает следующим образом. Электронная пушка бомбардирует поверхность анода, при этом алмазная пленка генерирует характеристическое излучение K_{α} -линии углерода (44.7 Å). Термо, выделяемое на аноде, отводится в капиллярно-пористый слой, который охлаждается проточным теплоносителем.

Поликристаллическая алмазная пленка и метод ее нанесения на подслой из пиролитического вольфрама обеспечивают высокую степень адгезии покрытия к основе и устойчивость к растрескиванию под действием термоупругих напряжений, развивающихся при его облучении электронным пучком. Легирование бором в процессе эпитетаксиального наращивания придает пленке полупроводниковые свойства, что улучшает стекание заряда при электронной бомбардировке.

На рис. 2 представлена схема источника излучения устройства рентгеновской литографии, который состоит из электронной пушки и охлаждаемого анода, расположенных в вакуумной камере, снабженной окном для вывода излучения экспонирующего резистор.

Были изготовлены и испытаны аноды, выполненные из меди в виде усеченного конуса с капиллярно-пористым медным теплообменником, на рабочую поверхность которого последовательно нанесены герметизирующий слой из интерметаллического соединения Cu_3Sn , карбидаобразующего подслоя – пиролитического вольфрама и поликристаллической алмазной пленки, легированной бором.

К капиллярно-пористому слою с помощью коллекторной системы специальных каналов подводился и отводился теплоноситель для

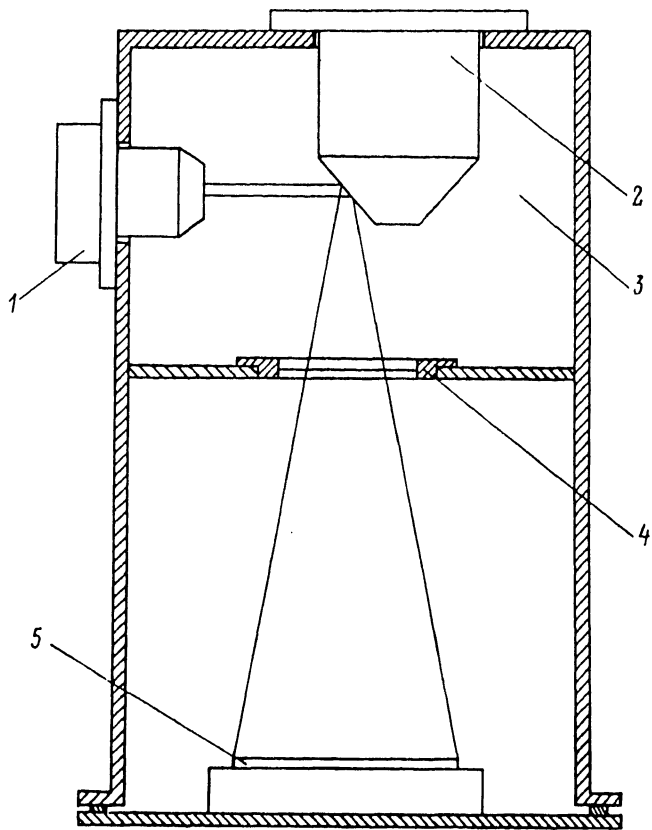


Рис. 2. Схема источника мягкого рентгеновского излучения: 1 - электронная пушка, 2 - охлаждаемый анод, 3 - вакуумная камера, 4 - окно, 5 - экспонируемый резист.

охлаждения структуры. В качестве теплоносителя использовалась дистиллированная вода. Контур охлаждения обеспечивал прокачку воды через анод в количестве 2.0 л/мин при давлении до 10 атм.

Цель испытаний анода состояла в определении максимальной тепловой мощности предложенного анода и эффективности его применения в устройствах рентгеновской литографии.

В процессе испытаний анод бомбардировался пучком электронов, мощность которого могла варьироваться от 0 до 5 кВт. Диаметр фокусного пятна составлял 4–5 мм, таким образом, максимальная плотность тепловой нагрузки могла достигать $10 \text{ кВт}/\text{см}^2$.

В ходе экспериментов мощность электронного пучка постепенно повышалась с нуля до максимальной величины, при которой начиналась эрозия мишени анода, наблюдаемая по характерному свечению зоны облучения. Величина плотности мощности электронного пучка, соответствующая началу этого процесса, и принималась за исходную удельную тепловую мощность анода.

Результаты испытаний показали, что анод имеет удельную тепловую мощность, равную $3+0.2$ кВт/см², что примерно в два раза превышает аналогичные значения для других известных конструкций охлаждаемых анодов, но без капиллярно-пористой структуры.

В результате испытаний была подтверждена высокая стабильность и надежность работы анода в условиях теплового нагружения, а также эффективность его использования в установках рентгеновской литографии.

Источник мягкого рентгеновского излучения устройств рентгеновой литографии с данным охлаждаемым анодом при одинаковой тепловой мощности имеет значительно меньшие габариты и меньшую стоимость изготовления. Использование для облучения резистов излучения с длиной волны 44.7 Å обеспечивает повышение производительности процесса экспонирования в 4–5 раз.

Следует отметить, что применение предложенного анода дает возможность исключить использование природного алмаза, при этом рабочая поверхность, покрываемая пленкой, может значительно превышать размеры самых больших кристаллов.

Таким образом, в результате проведенных исследований разработан и создан высокомощный охлаждаемый анод источника мягкого рентгеновского излучения, надежный и технологичный в изготовлении, позволяющий увеличивать производительность рентгенолитографических установок.

Список литературы

- [1] Валиев К.А., Раков А.В. Физические основы субмикронной литографии в микроэлектронике. М.: Радио и связь, 1984. 350 с.
- [2] Хьюс Дж.П., Финк Р.К. // Электроника, 1978. Т. 51. № 23. С. 23–25.
- [3] Патент США № 4130772. Вращающийся анод источника рентгеновского излучения, 1977.
- [4] Патент ЕР № 0118955. Мощный источник рентгеновых лучей с улучшенным охлаждением анода, 1984.
- [5] Патент США № 4266138. Алмазный анод для генерации мягкого рентгеновского излучения высокой интенсивности и способ экспонирования слоев, чувствительных к рентгеновскому излучению, 1978.
- [6] Аполлонов В.В., Буйлов Л.Л., Гречев Н.В., Гриценко А.Л., Островская Л.М., Прохоров А.М., Сажнев С.В., Спицын Б.В., Хомич В.Ю., Шубин А.А. Анод источника мягкого

[7] Буйлов Л.Л., Алексенко А.Е., Ботев А.А.,
Спицын Б.В. // Докл. АН СССР. 1986. Т. 287. № 4.
С. 888-891.

Институт общей
физики
АН СССР, Москва

Поступило в Редакцию
5 июня 1990 г.

Письма в ЖТФ, том 16, вып. 15

12 августа 1990 г.

04; 10

© 1990

УСИЛЕНИЕ ТОКА ПРИ ПРОХОЖДЕНИИ МОДУЛИРОВАННОГО ЭЛЕКТРОННОГО ПУЧКА ЧЕРЕЗ СЛАБОИОНИЗОВАННУЮ ПЛАЗМУ

П.В. Веденин

Одним из интересных явлений, сопровождающих транспортировку электронных пучков через плазму, является усиление тока. Экспериментально этот эффект наблюдался при инжекции непрерывных пучков в нейтральный газ низкого давления (10^{-5} -1 Тор) [1-6], высокого давления (20-500 Тор) [3, 5, 7], в заранее приготовленную плазму [8]. Зафиксированы коэффициенты усиления (отношение полного тока к пучковому), не превышающие пяти. Единственный эксперимент, в котором отмечалось десятикратное увеличение тока, проводился с использованием модулированного электронного пучка [9].

Механизмы появления плазменного тока, сопутствующего пучковому, связываются с дрейфом электронов плазмы в электрическом и магнитном полях ненейтрализованного пучка [1], с поперечным движением пучка в электрически проводящем канале [10] и с передачей импульса от электронов пучка электронам плазмы при развитии пучковой неустойчивости [11]. Теоретическое исследование эффекта усиления тока, сопровождающего транспортировку глубоко модулированного электронного пучка через слабоионизованную плазму, до настоящего времени не проводилось.

Начиная с момента времени $t = 0$, в полупространство $z \geq 0$, заполненное холодной слабоионизованной плазмой с концентрацией n_{po} , вдоль оси Oz инжектируется со скоростью v_0 модулированный по плотности с частотой ω_0 ($\omega_0 \gg \omega_{po} \gg v$, v - частота транспортных столкновений электронов плазмы, $\omega_{po} = \frac{4\pi e^2 h_{po}}{m}$) и глубиной M поток электронов длительности t_f и радиуса r_f .